

**О ВЛИЯНИИ ФОРМЫ ЗАТУПЛЕНИЯ ПЕРЕДНИХ КРОМОК  
ТРЕУГОЛЬНОГО КРЫЛА НА РАСПРЕДЕЛЕНИЕ КОЭФФИЦИЕНТА  
ТЕПЛООТДАЧИ ПО ЕГО ПОВЕРХНОСТИ**

Представлены результаты экспериментального исследования влияния на теплообмен формы затупления передних кромок треугольного крыла при числе Маха  $M=5$  и углах атаки  $\alpha=10$  и  $15^\circ$ . Обнаружено сильное влияние формы затупления на теплопередачу к кромкам и к верхней поверхности крыла.

Для получения достаточно высокого аэродинамического качества летательный аппарат не должен обладать значительным сопротивлением, в частности его несущие и стабилизирующие органы должны быть тонкими [1]. Однако для того, чтобы иметь возможность отвести большие количества тепла от передних кромок крыльев, кромки должны быть затуплены. В [2, 3] изучалось влияние степени затупления кромок на теплообмен, но нет в литературе сообщений о характере влияния на теплообмен формы их затупления.

Распределение теплового потока по затупленному телу сильно зависит от его формы. Так, при обтекании эллипсоидов вращения [4], эллиптических конусов [5] и цилиндров [6] коэффициент теплоотдачи  $h$  изменяется по длине  $s$  дуги эллипса различным образом в зависимости от величины  $a/b$  и ( $a$  и  $b$  – оси эллипса, ось  $b$  для цилиндров и эллипсоидов вращения параллельна скорости  $V$ ). При  $a/b < 2$  максимум  $h$  соответствует критической линии цилиндра ( $s=0$ ) и в области значений  $s > 0$  функция  $h(s)$  является монотонно убывающей, а при  $a/b > 2$  она сначала возрастает, достигает максимума и при дальнейшем увеличении  $s$  уменьшается. У эллипса с  $a/b = 2$  важная особенность – отсутствует максимум  $h$ : функция  $h(s)$  принимает постоянное значение при  $s/a \leq 0,6$  и убывает при больших значениях  $s$ . На основании этого факта можно предположить, что если передние кромки треугольного крыла затупить по дуге эллипса с  $a/b = 2$ , то распределение  $h$  в сечении, перпендикулярном кромке, будет близко к равномерному (при  $s/a \leq 0,6$ ). Это предположение нуждается в экспериментальной проверке.

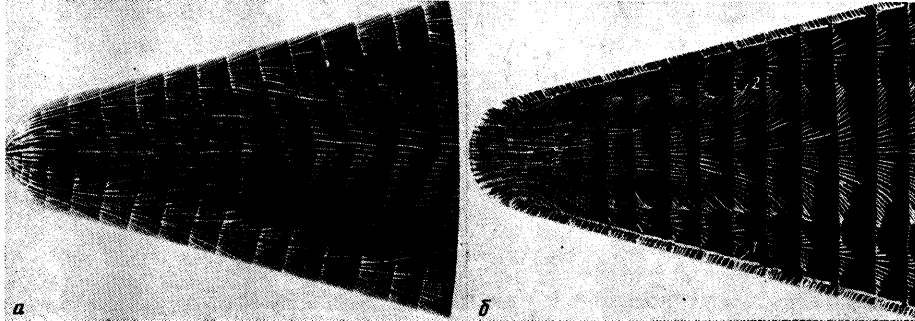
Исследование проведено в сверхзвуковой аэродинамической трубе на двух моделях треугольного крыла с затупленными передними кромками. Модель 1 имела цилиндрическую кромку, образованную дугой окружности, а модель 2 – дугой эллипса с  $a/b = 2$ . Условия обтекания кромки треугольного крыла зависят, как известно, от величины угла атаки  $\alpha_n$  в сечении, перпендикулярном кромке ( $\operatorname{tg} \alpha_n = \operatorname{tg} \alpha / \cos \chi$ , где  $\chi$  – угол ее стреловидности). В эксперименте реализован интересный для практики режим обтекания крыла на угле атаки  $\alpha = 15^\circ$  при значении  $\chi = 75^\circ$ . Этому режиму соответствует  $\alpha_n = 46^\circ$ . Радиус цилиндрических кромок модели 1 равнялся 8 мм, толщина обеих моделей  $\delta = 16$  мм, их длина – 160 мм. Форма моделей в плане была одинаковой: между ними не было различия ни в скруглении вершины крыла (радиус окружности составлял 15 мм), ни в стреловидности кромок ( $\chi = 75^\circ$ ).

Испытания проводились при  $M=5$ , угол атаки  $\alpha$  составлял  $10$  и  $15^\circ$ . Полное давление  $7,1 \cdot 10^5$  Па, температура торможения  $570$  К. Число Рейнольдса, вычисленное по параметрам невозмущенного потока и длине модели, составляло  $1,1 \cdot 10^6$ . Величина температурного фактора, выражаемая отношением температуры поверхности модели к температуре торможения, была равна 0,63.

Во время запуска аэродинамической трубы модель располагалась вне потока в камере Эйфеля; ввод модели в установившийся поток осуществлялся с помощью пневмоцилиндра. Коэффициент теплоотдачи измерялся методом термоиндикаторных покрытий с использованием индикатора плавления белого цвета [7]. При определенной, не зависящей от давления температуре ( $T=358$  К) термоиндикаторное покрытие плавится и становится прозрачным. Модели изготавливались из стекловолокнистого материала. Кон trastная граница между белой поверхностью нерасплавившегося покрытия и темной поверхностью модели фиксировалась кинокамерой в процессе испытания.

Коэффициент теплоотдачи определяли по измеренному времени наступления цветового перехода, по известным теплофизическим характеристикам материала модели и величинам ее начальной температуры и температуры торможения потока с использованием известного решения уравнения теплопроводности [8]. При этом использовали решение для полуограниченного тела, допуская на кромках моделей систематическую погрешность в определении  $h$ , не превышающую 10% (согласно [8], значения  $h$  на кромке модели 1, полученные с использованием решений для полуограниченного тела и неограниченного цилиндра, различаются между собой на 3–10% для условий эксперимента). При определении  $h$  в качестве адиабатической температуры принималась приближенно температура торможения.

Измерения высоты элементов шероховатости термоиндикаторного покрытия, выполненные оптическим методом, показали, что она не превышала 0,01 мм, т. е.



Фиг. 1

более чем на порядок были меньше толщины пограничного слоя на кромках модели, а значит, поверхность термоиндикаторного покрытия можно считать аэродинамически гладкой.

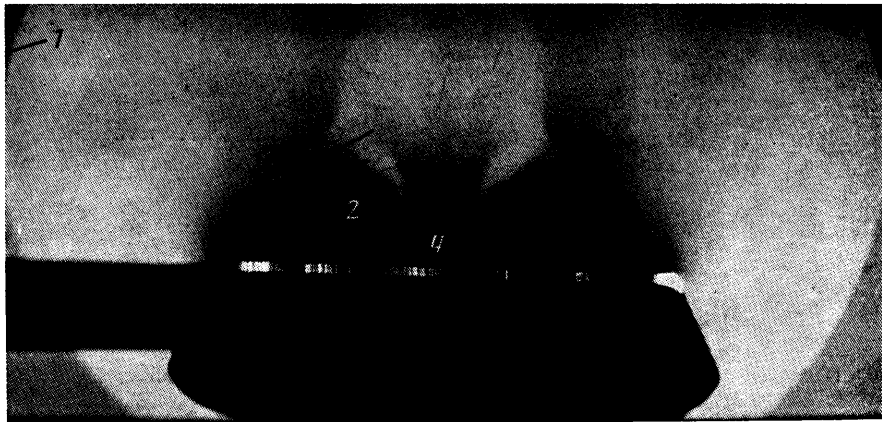
Для понимания структуры течений полезны спектры предельных линий тока [9] и картины течения, полученные методом «лазерного ножа» [10]. На фиг. 1 приведены фотографии предельных линий тока с наветренной (1, а) и подветренной (1, б) сторон для случая обтекания модели 2 при угле атаки  $\alpha=15^\circ$ . Предельные линии тока получены путем размывания потоком точек краски, нанесенных на поверхность модели. На кромках крыла с наветренной стороны хорошо видны линии растекания. С этих линий газ растекается как в сторону плоскости симметрии, так и в сторону верхней поверхности, на которой наблюдается отрыв пограничного слоя: признаком отрыва служит наличие огибающей предельных линий тока (линия отрыва отмечена цифрой 1 на фиг. 1). Оторвавшийся поток затем вновь присоединяется в центральной зоне крыла. Внутри основной области отрыва образуется вторичный вихрь с противоположным направлением вращения (линия вторичного отрыва обозначена цифрой 2 на фиг. 1).

Сущность метода «лазерного ножа» состоит в следующем. Поток газа, в который помещается модель, пересекают тонким плоским лучом лазера. Использование в качестве источника света лазера обеспечивает высокую интенсивность освещения частиц, содержащихся в потоке. Частицы рассеивают свет, причем интенсивность светения пропорциональна концентрации частиц, которая распределяется неравномерно в поле возмущенного моделью течения (она меняется вместе с изменением плотности газа). Это изменение концентрации частиц в потоке вблизи модели и позволяет наблюдать течение.

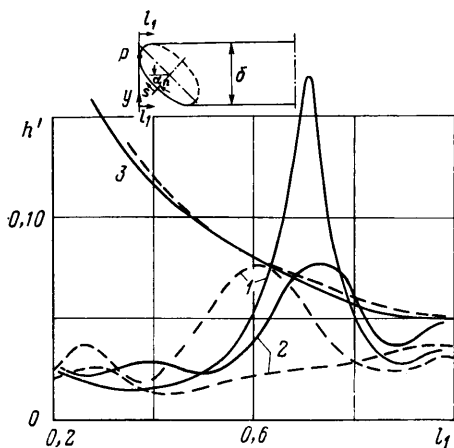
Картина течения наблюдалась в плоскости «лазерного ножа» на расстоянии 130 мм от передней точки модели. В качестве светорассеивающих частиц использовались продукты сгорания керосина (сажа, а также углекислый газ и пары воды, которые при расширении и охлаждении в сверхзвуковом сопле переходили в твердую фазу). Подогрев воздуха за счет сжигания керосина применялся только в случае визуализации течения с помощью лазера (при исследовании теплообмена использовался электрический подогреватель).

На фиг. 2 показана фотография потока вблизи модели 2, полученная для  $\alpha=15^\circ$  методом «лазерного ножа». Горизонтальная светлая полоса соответствует верхней поверхности крыла (модель фотографировалась сверху). Ниже этой полосы видна хвостовая часть модели; темная полоса в левой части фотографии является тенью модели. Головная ударная волна отмечена цифрой 1. Развитые области отрыва, образующиеся на верхней поверхности крыла под действием внутренних скачков уплотнения, указаны цифрой 2, а сами внутренние скачки – цифрой 3. Энтропийный слой, обусловленный затуплением вершины крыла, отмечен цифрой 4.

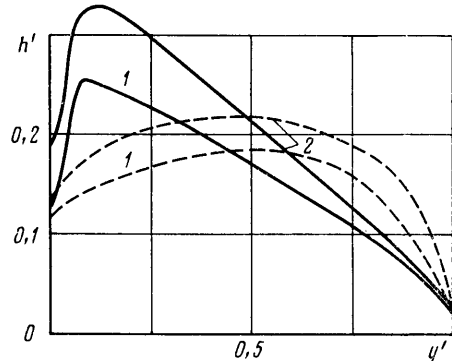
Перейдем теперь к обсуждению результатов исследования теплообмена. Метод термоиндикаторных покрытий позволяет получить значения коэффициента теплоотдачи на всей наблюдаемой поверхности модели. Используя эту возможность метода, на моделях 1 и 2 исследовали распределение  $h$  в трех сечениях, перпендикулярных передней кромке и расположенных на различных расстояниях от носка модели. Во всех сечениях влияние формы затупления кромки на теплообмен оказалось примерно одинаковым. Поэтому на приводимых ниже фигурах представлены значения  $h$  только для одного сечения (они отнесены к значению  $h_0$  на критической линии кругового цилиндра радиуса  $R=8$  мм, полученному для нулевого угла скольжения из расчета [11]). Передняя точка  $P$  сечения имеет координату  $x=90$  мм в декартовой системе координат  $x, y, z$  (плоскость  $xy$  совмещена с плоскостью симметрии крыла,  $xz$  – с его нижней поверхностью,  $yz$  проходит через переднюю точку модели). Для этого сечения на фиг. 3 представлено изменение  $h^*=h/h_0$  в зависимости от безразмерной величины  $l_1$ , представляющей собой расстояние от проекции точки  $P$  на



Фиг. 2



Фиг. 3



Фиг. 4

плоскость крыла (наветренную и (или) подветренную) до рассматриваемой точки, отнесенное к длине сечения (принято, что донный срез сечения лежит в плоскости  $xy$ ).

На фиг. 3 кривые 1 и 2 соответствуют условиям:  $\alpha=10$  и  $15^\circ$ , верхняя поверхность;  $3-\alpha=15^\circ$ , нижняя поверхность. На этой фигуре не приводятся значения  $h'$ , относящиеся непосредственно к передней кромке. На фиг. 3 и фиг. 4 сплошной линией обозначаются результаты, полученные при обтекании модели 1, штириховой — модели 2. При небольших углах атаки ( $\alpha \leq 15^\circ$ ) на верхней поверхности, как видно из фиг. 3, имеет место «пик» коэффициента теплоотдачи в зоне повторного присоединения потока, оторвавшегося у кромки. Величина «пика» сильно зависит от формы затупления кромки: переход от окружности к эллиптическому профилю затупления приводит к снижению «пикового» значения  $h'$  на 55% при  $\alpha=10^\circ$  и к исчезновению «пика» при  $\alpha=15^\circ$ . Форма затупления мало влияет на характер распределения  $h'$  по нижней поверхности.

На фиг. 4 приведено распределение  $h'$  поперек кромки для случаев,  $\alpha=10$  (кривые 1) и  $15^\circ$  (кривые 2). По оси абсцисс отложена координата  $y'=y/\delta$ . Для этих случаев, как и предполагалось, распределение  $h'$  поперек кромки у модели 2 оказалось существенно более равномерным, чем аналогичное распределение у модели 1. При этом максимальное значение коэффициента теплоотдачи на кромке модели 2 ниже максимального значения для модели 1 в среднем на 30%.

#### ЛИТЕРАТУРА

- Черный Г. Г. Течения газа с большой сверхзвуковой скоростью. М.: Физматгиз, 1959. 220 с.
- Murray W. M., Stallings R. L. Heat transfer and pressure distributions on  $60^\circ$  and  $70^\circ$  swept delta wings having turbulent boundary layers // NASA. TN. 1966. № D-3644. 74 p.

3. Давыдова Н. А., Юшин А. Я. Экспериментальное исследование теплопередачи при обтекании плоских треугольных крыльев с притупленными кромками // Уч. зап. ЦАГИ. 1970. Т. 1. № 6. С. 117–125.
4. Колина Н. П. Ламинарный пограничный слой на затупленных осесимметричных телах различной формы // Тр. ЦАГИ. 1968. Вып. 1106. С. 268–328.
5. Смыгина Г. В., Юшин А. Я. Экспериментальное исследование в ударной трубе при  $M_\infty = 13,6$  теплопередачи к моделям треугольных крыльев, составленных из двух эллиптических полуконусов с разными значениями коэффициента эллиптичности // Тр. ЦАГИ. 1968. Вып. 1106. С. 44–67.
6. Башкин В. А. Ламинарный пограничный слой на бесконечно длинных эллиптических цилиндрах при произвольном угле скольжения // Изв. АН СССР. МЖГ. 1967. № 5. С. 76–82.
7. Ардашева М. М., Ильина С. А., Лодыгин Н. А. и др. Применение плавящихся термоиндикаторов для измерения тепловых потоков к моделям в аэродинамических трубах // Уч. зап. ЦАГИ. 1972. Т. 3. № 1. С. 77–82.
8. Лыков А. В. Теория теплопроводности. М.: Высп. школа, 1967. 599 с.
9. Бражко В. Н. Способ визуализации линий тока на поверхности моделей в аэродинамических трубах // Тр. ЦАГИ. 1976. Вып. 1749. С. 241–256.
10. Боровой В. Я., Иванов В. В., Орлов А. А., Харченко В. Н. Визуализация пространственного обтекания моделей с помощью лазерного ножа // Уч. зап. ЦАГИ. 1973. Т. 4. № 5. С. 42–49.
11. Fay J. A., Riddell F. R. Theory of stagnation point heat transfer in dissociated air // J. Aeronaut. Sci. 1958. V. 25. № 2. P. 73–85.

Москва

Поступила в редакцию  
22.V.1989

УДК 533.6.011.72

© 1990 г.

Э. М. БАРХУДАРОВ, М. О. МДИВНИШВИЛИ, И. В. СОКОЛОВ,  
М. И. ТАКТАКИШВИЛИ, В. Е. ТЕРЕХИН

## НЕРЕГУЛЯРНОЕ ОТРАЖЕНИЕ КОЛЬЦЕВОЙ УДАРНОЙ ВОЛНЫ ОТ ОСИ СИММЕТРИИ

Схождение одномерных сферической или цилиндрической ударных волн сопровождается неограниченным ростом параметров течения при приближении ударной волны к центру (оси) симметрии (неограниченная кумуляция) [1, 2]. Явление кумуляции присуще и неодномерным сходящимся осесимметричным ударным волнам. Экспериментально было показано, что кольцевая ударная волна усиливается при движении к оси [3]. Теоретический анализ этой задачи в рамках метода Уизема указывает на неограниченный характер кумуляции кольцевой ударной волны [4] при отсутствии низших азимутальных гармоник возмущения формы ударного фронта [5].

В настоящей работе исследуется картина течения, возникающего после прихода кольцевой ударной волны в центр кольца.

Главным результатом является наблюдаемый при отражении кольцевой волны от оси симметрии факт образования ударной волны Маха при малых значениях осевой координаты  $z$ , отсчитываемой от центра кольца, причем нерегулярное отражение предсказывается на сколько угодно малых расстояниях от центра.

Как было показано теоретически [6], нерегулярное отражение кольцевой ударной волны при малых  $z$  обусловлено увеличением угла наклона фронта падающей волны к оси при ее ускоренном схождении. Этот вывод согласуется с хорошо известной гипотезой Куранта и Фридрихса [7] о том, что осесимметричная («коническая») сходящаяся ударная волна испытывает в любом случае нерегулярное отражение в отличие от плоской волны, которая может отражаться регулярным образом. В выполненной недавно работе [8] эта гипотеза доказана для конической ударной волны в совершенном газе.

1. Исследуемая ударная волна создавалась аналогично [3] с помощью поверхности электрического пробоя большого числа ( $\sim 100$ ) искровых промежутков, расположенных на внутренней, обращенной к оси симметрии поверхности кольца. Радиус и толщина кольца  $R_k = 5$  см,  $h = 1$  см. Вкладываемая в разряд энергия  $E \leq 1,2$  КДж. Среднее значение числа Маха возникающей и распространяющейся к оси ударной волны  $M_0 \sim 2$ .

Визуализация ударной волны осуществлялась теневым методом с лазерным источником света при просвечивании в направлении, перпендикулярном оси кольца. Показанная на фиг. 1 последовательность тенеграмм получена в разных реали-